

# Реакции перезарядки с точки зрения партонной модели

*М.Л.Некрасов*

Семинар ОТФ, 17 декабря 2014

- ★ Введение (эксп. ситуация, противоречия + идеи)
- ★ Анализ жестких подпроцессов
- ★ Дифф. сечения  $\pi^- p \rightarrow M^0 n$  и  $K^- p \rightarrow M^0 \Lambda$   
сравнение с эксп. данными
- ★ Выводы



ИФВЭ (NICE, GAMS-4 $\pi$ ), Argonne, FERMILAB, CERN ...  
как часть программы исследований нейтральных мезонов,  
поиск экзотич. состояний, распределение по  $t, s \dots$

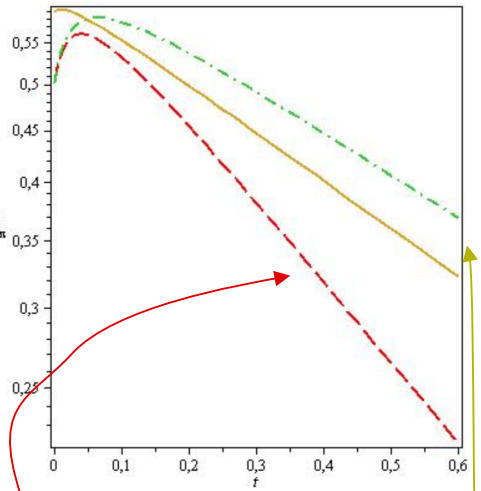


BNL, CERN, ИФВЭ (GAMS-4 $\pi$ )

Теоретические методы: Реджевская феноменология  $A(s, t) = g(t) \eta(\alpha) \left( s/s_0 \right)^{\alpha(t)}$

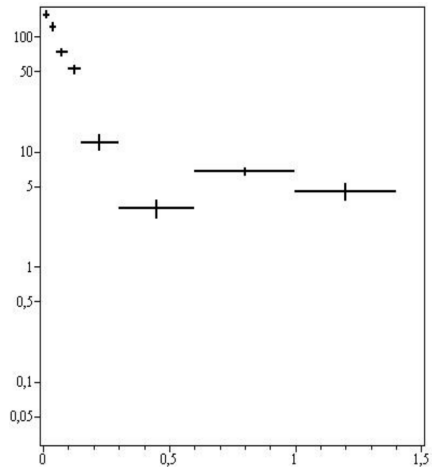
Проблемы:

1.  $\pi^- p: R_{\pi}^{\eta'/\eta}(t)$

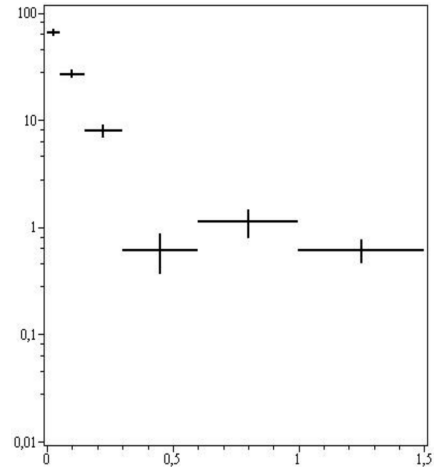


Argonne (1980) 8.45 GeV  
ИФВЭ (1979) 15,40 GeV

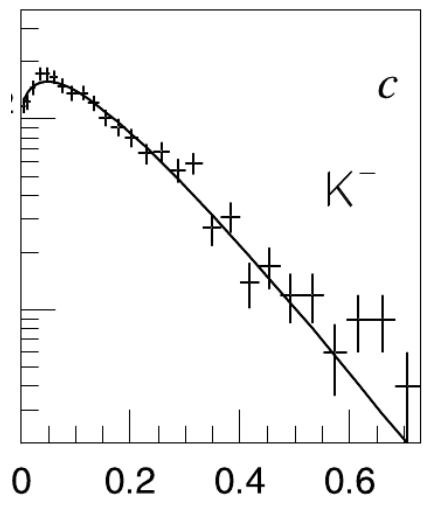
2.  $K^- p \rightarrow \eta \Lambda: d\sigma/dt$



CERN (1977) 4.2 GeV



CERN (1981) 8.25 GeV



ИФВЭ (2013) 32.5 GeV

## Партонная модель:

(Грибов, 1973)

- Взаимодействия адронов при высоких энергиях происходят через элементарные акты рассеяния составляющих их субчастиц --- партонов.
- Наибольший вклад в сечение дает взаимодействие партонов с небольшими относительными импульсами  $\Rightarrow$  медленные партоны.
- Медленные партоны образуются вследствие квантовых флуктуаций --- расщеплений быстрых (валентных) партонов с последующим собиранием снова в быстрые партоны.
- Медленные партоны возникают в конце флуктуаций  $\Rightarrow$  их рассеяние должно приводить к прерыванию породивших их флуктуаций  $\Rightarrow$  множественное образованию адронов

## Партонная модель:

(Грибов, 1973)

- Взаимодействия адронов при высоких энергиях происходят через элементарные акты рассеяния составляющих их субчастиц --- партонов.
- Наибольший вклад в сечение дает взаимодействие партонов с небольшими относительными импульсами  $\Rightarrow$  медленные партоны.
- Медленные партоны образуются вследствие квантовых флуктуаций --- расщеплений быстрых (валентных) партонов с последующим собиранием снова в быстрые партоны.
- Медленные партоны возникают в конце флуктуаций  $\Rightarrow$  их рассеяние должно приводить к прерыванию породивших их флуктуаций  $\Rightarrow$  множественное образованию адронов
- (!) Реакции перезарядки представляют другой класс процессов. В их основе лежит рассеяние с перезарядкой заряженных партонов, т.е. с *изменением их типа* в составе сталкивающихся частиц.
- В случае медленных партонов рассеяние такого рода, даже на малые углы, приводит к прерыванию флуктуаций  $\Rightarrow$  множественное образование адронов.
- *Эксклюзивные бинарные* реакции перезарядки идут через рассеяние быстрых(валентных) заряженных партонов, стоящих в начале флуктуаций.
- Соответствующие элементарные процессы являются жесткими.

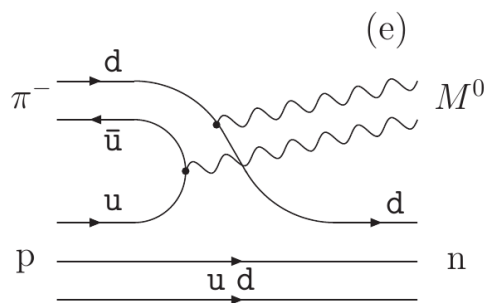
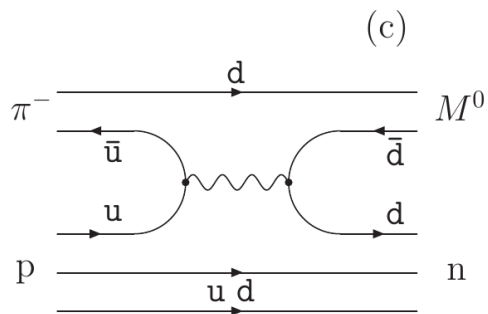
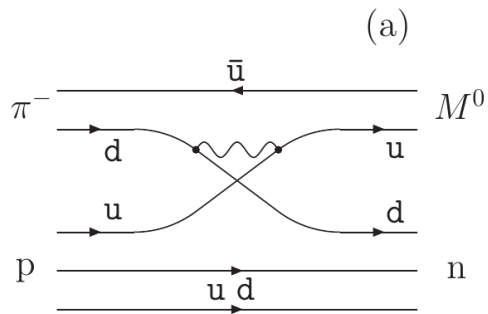
## Партонная модель:

(Грибов, 1973)

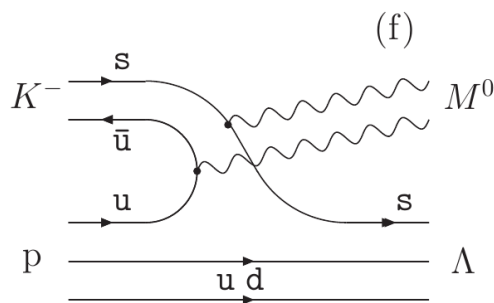
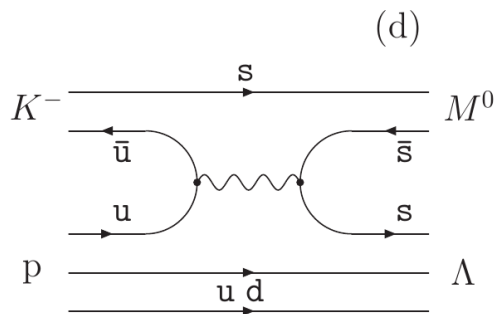
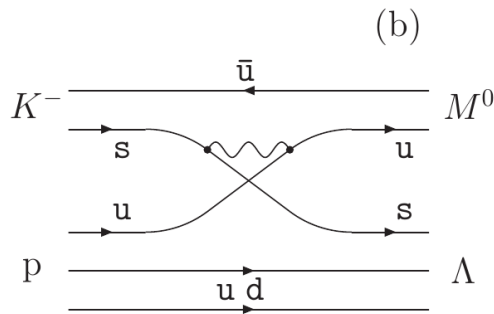
- Взаимодействия адронов при высоких энергиях происходят через элементарные акты рассеяния составляющих их субчастиц --- партонов.
- Наибольший вклад в сечение дает взаимодействие партонов с небольшими относительными импульсами  $\Rightarrow$  медленные партоны.
- медленные партоны образуются вследствие квантовых флуктуаций --- расщеплений быстрых (валентных) партонов с последующим собиранием снова в быстрые партоны.
- Медленные партоны возникают в конце флуктуаций  $\Rightarrow$  их рассеяние должно приводить к прерыванию породивших их флуктуаций  $\Rightarrow$  множественное образованию адронов
- (!) Реакции перезарядки представляют другой класс процессов. В их основе лежит рассеяние с перезарядкой заряженных партонов, т.е. с *изменением их типа* в составе сталкивающихся частиц.
- В случае медленных партонов рассеяние такого рода, даже на малые углы, приводит к прерыванию флуктуаций  $\Rightarrow$  множественное образование адронов.
- *Эксклюзивные бинарные* реакции перезарядки идут через рассеяние быстрых(валентных) заряженных партонов, стоящих в начале флуктуаций.
- Соответствующие элементарные процессы являются жесткими.
- После рассеяния быстрых партонов, существенную роль играют мягкие взаимодействия. (В частности, они ответственны за собирание партонов в конечные адронные состояния.)
- Обеспечивают ли мягкие процессы когерентность промежуточных вкладов? (Нет прерывания флуктуаций  $\Rightarrow$  когерентность! Но, тем не менее, при формировании конечных состояний включаются "силы конфайнмента" --- силы диссипативной природы!)
- С ростом энергий возрастает время "мягкого" взаимодействия частиц  $\Rightarrow$  возрастает время действия "диссипативных сил", разрушающих когерентность.

# Жёсткие подпроцессы (партонная модель)

$\pi^- p \rightarrow M^0 n$

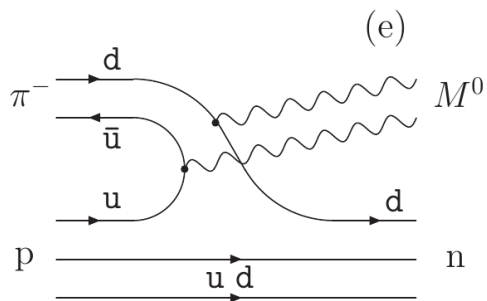
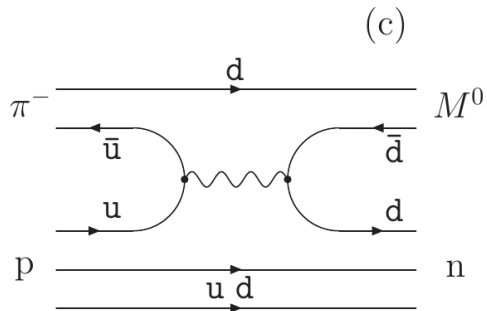
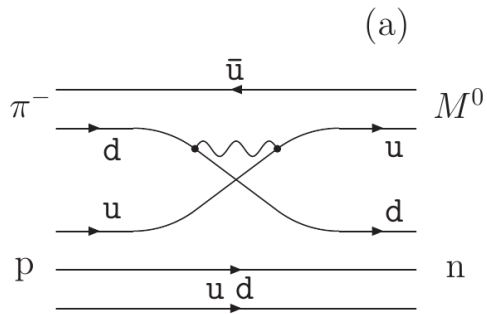


$K^- p \rightarrow M^0 (\Lambda, \Sigma^0)$

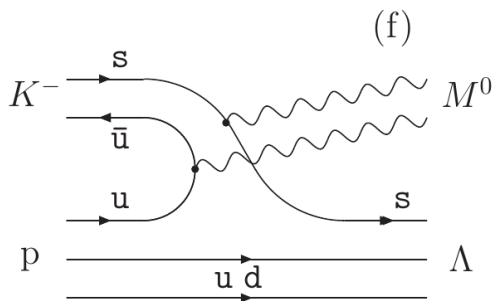
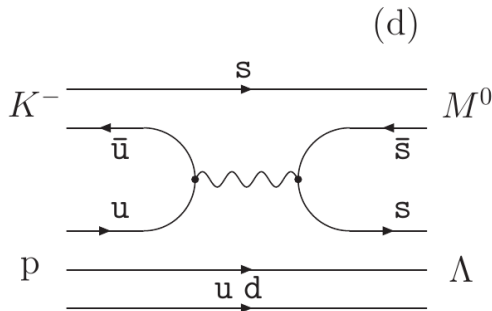
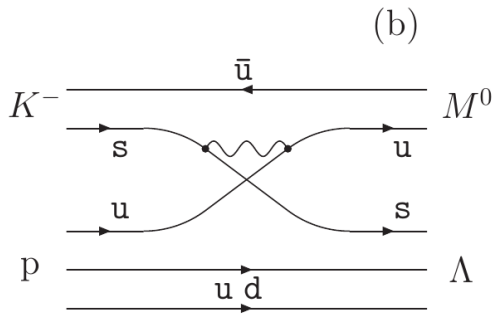


# Жёсткие подпроцессы (партонная модель)

$\pi^- p \rightarrow M^0 n$



$K^- p \rightarrow M^0 (\Lambda, \Sigma^0)$



$$M_E = N \times \hat{s}/\hat{u}$$

При небольших передачах  
вклады считаем равными

$$M_A = N \times \hat{u}/\hat{s}$$

"двойные" подпроцессы!  
Вклады подавлены

# Построение сечений наблюдаемых процессов

$$A(s, t) = g(t) \eta(\alpha) \left( s/s_0 \right)^{\alpha(t)}$$

Сигнатура  $\eta(\alpha)$ , относит. вклады:

векторный обмен:  $i \times \sin(\pi\alpha_V/2)$

тензорный обмен:  $\cos(\pi\alpha_T/2)$

|                                 | $V$    | $SU(3)$       | $T$   | $SU(3)$         | hard             | subprocesses     |
|---------------------------------|--------|---------------|-------|-----------------|------------------|------------------|
| $\pi^- p \rightarrow \pi^0 n$   | $\rho$ | 1             | —     | —               | E ( $u\bar{u}$ ) | A ( $d\bar{d}$ ) |
| $\pi^- p \rightarrow \eta^8 n$  | —      | —             | $a_2$ | $1/\sqrt{3}$    | E ( $u\bar{u}$ ) | A ( $d\bar{d}$ ) |
| $\pi^- p \rightarrow \eta^0 n$  | —      | —             | $a_2$ | $\xi\sqrt{2/3}$ | E ( $u\bar{u}$ ) | A ( $d\bar{d}$ ) |
| $K^- p \rightarrow \bar{K}^0 n$ | $\rho$ | $-1/\sqrt{2}$ | $a_2$ | $1/\sqrt{2}$    |                  | A ( $s\bar{d}$ ) |
| $K^+ n \rightarrow K^0 p$       | $\rho$ | $1/\sqrt{2}$  | $a_2$ | $1/\sqrt{2}$    | E ( $d\bar{s}$ ) |                  |

|                                    |       |               |         |                  |                  |                  |
|------------------------------------|-------|---------------|---------|------------------|------------------|------------------|
| $K^- p \rightarrow \pi^0 \Lambda$  | $K^*$ | 1/2           | $K_2^*$ | 1/2              | E ( $u\bar{u}$ ) |                  |
| $K^- p \rightarrow \eta^8 \Lambda$ | $K^*$ | $\sqrt{3}/2$  | $K_2^*$ | $-1/(2\sqrt{3})$ | E ( $u\bar{u}$ ) | A ( $s\bar{s}$ ) |
| $K^- p \rightarrow \eta^0 \Lambda$ | —     | —             | $K_2^*$ | $\xi\sqrt{2/3}$  | E ( $u\bar{u}$ ) | A ( $s\bar{s}$ ) |
| $\pi^- p \rightarrow K^0 \Lambda$  | $K^*$ | $-1/\sqrt{2}$ | $K_2^*$ | $1/\sqrt{2}$     |                  | A ( $d\bar{s}$ ) |

$\xi$  — параметр нарушения кварковой U(3) симметрии

# Построение сечений наблюдаемых процессов

|                                 | $V$    | $SU(3)$       | $T$   | $SU(3)$         | hard             | subprocesses     |
|---------------------------------|--------|---------------|-------|-----------------|------------------|------------------|
| $\pi^- p \rightarrow \pi^0 n$   | $\rho$ | 1             | —     | —               | E ( $u\bar{u}$ ) | A ( $d\bar{d}$ ) |
| $\pi^- p \rightarrow \eta^8 n$  | —      | —             | $a_2$ | $1/\sqrt{3}$    | E ( $u\bar{u}$ ) | A ( $d\bar{d}$ ) |
| $\pi^- p \rightarrow \eta^0 n$  | —      | —             | $a_2$ | $\xi\sqrt{2/3}$ | E ( $u\bar{u}$ ) | A ( $d\bar{d}$ ) |
| $K^- p \rightarrow \bar{K}^0 n$ | $\rho$ | $-1/\sqrt{2}$ | $a_2$ | $1/\sqrt{2}$    |                  | A ( $s\bar{d}$ ) |
| $K^+ n \rightarrow K^0 p$       | $\rho$ | $1/\sqrt{2}$  | $a_2$ | $1/\sqrt{2}$    | E ( $d\bar{s}$ ) |                  |

|                                    |       |               |         |                  |                  |                  |
|------------------------------------|-------|---------------|---------|------------------|------------------|------------------|
| $K^- p \rightarrow \pi^0 \Lambda$  | $K^*$ | 1/2           | $K_2^*$ | 1/2              | E ( $u\bar{u}$ ) |                  |
| $K^- p \rightarrow \eta^8 \Lambda$ | $K^*$ | $\sqrt{3}/2$  | $K_2^*$ | $-1/(2\sqrt{3})$ | E ( $u\bar{u}$ ) | A ( $s\bar{s}$ ) |
| $K^- p \rightarrow \eta^0 \Lambda$ | —     | —             | $K_2^*$ | $\xi\sqrt{2/3}$  | E ( $u\bar{u}$ ) | A ( $s\bar{s}$ ) |
| $\pi^- p \rightarrow K^0 \Lambda$  | $K^*$ | $-1/\sqrt{2}$ | $K_2^*$ | $1/\sqrt{2}$     |                  | A ( $d\bar{s}$ ) |

$\xi$  — параметр нарушения кварковой U(3) симметрии

$$\frac{1}{\sqrt{2}}(u\bar{u} - d\bar{d}) \stackrel{V}{=} \pi^0, \quad \frac{1}{\sqrt{2}}(u\bar{u} + d\bar{d}) \stackrel{T}{=} \sqrt{\frac{2}{3}}\eta^0 + \sqrt{\frac{1}{3}}\eta^8,$$

$$\frac{1}{\sqrt{2}}(u\bar{u} - s\bar{s}) \stackrel{V}{=} \frac{1}{2}\pi^0 + \frac{\sqrt{3}}{2}\eta^8, \quad \frac{1}{\sqrt{2}}(u\bar{u} + s\bar{s}) \stackrel{T}{=} \frac{1}{2}\pi^0 + \sqrt{\frac{2}{3}}\eta^0 - \frac{1}{2\sqrt{3}}\eta^8$$

$$\frac{1}{\sqrt{2}}u\bar{u} = \frac{1}{\sqrt{6}}\eta^0 + \frac{1}{\sqrt{12}}\eta^8 + \frac{1}{2}\pi^0 = \frac{1}{2}\cos(\theta + \theta_{id})\eta + \frac{1}{2}\sin(\theta + \theta_{id})\eta' + \frac{1}{2}\pi^0$$

$$\frac{1}{\sqrt{2}}s\bar{s} = \frac{1}{\sqrt{6}}\eta^0 - \frac{1}{\sqrt{3}}\eta^8 = -\frac{1}{\sqrt{2}}\sin(\theta + \theta_{id})\eta + \frac{1}{\sqrt{2}}\cos(\theta + \theta_{id})\eta'$$

$$A(s, t) = g(t) \eta(\alpha) \left(s/s_0\right)^{\alpha(t)}$$

Сигнатура  $\eta(\alpha)$ , относит. вклады:

векторный обмен:  $i \times \sin(\pi\alpha_V/2)$

тензорный обмен:  $\cos(\pi\alpha_T/2)$

Структура жёстких вкладов

Когерентное сложение:

"жёсткие" подпроцессы дают линейную комбинацию вкладов

симметрич. — в тензорном канале;  
антисимметр. — в векторном канале.

Мнемоническое правило:

E — положит. вклады в обоих каналах;  
A — положит. вклад в тензорном и отриц. вклад в векторном канале

Некогерентное сложение:

"жёсткие" вклады непосредственно проявляются в сечении с соответствующим относительным весом, независимо в вектор. и тензорном каналах.

Простейшая модель смешивания :

$$|\eta\rangle = \cos\theta |\eta^8\rangle - \sin\theta |\eta^0\rangle$$

$$|\eta'\rangle = \sin\theta |\eta^8\rangle + \cos\theta |\eta^0\rangle \quad 5$$

В случае когерентного сложения жёстких вкладов:

$$\sigma(\pi^- p \rightarrow \pi^0 n) = g_{\pi\rho\pi}^2 \sin^2 \frac{\pi\alpha_\rho}{2} \left(\frac{s}{s_0}\right)^{2\alpha_\rho-2}$$

$$\sigma(\pi^- p \rightarrow \eta n) = \frac{1+2\xi^2}{3} g_{\pi a_2 \eta}^2 \cos^2 \frac{\pi\alpha_{a_2}}{2} \left(\frac{s}{s_0}\right)^{2\alpha_{a_2}-2} \cos^2(\theta + \theta_{id} - \delta)$$

$$\sigma(\pi^- p \rightarrow \eta' n) = \frac{1+2\xi^2}{3} g_{\pi a_2 \eta'}^2 \cos^2 \frac{\pi\alpha_{a_2}}{2} \left(\frac{s}{s_0}\right)^{2\alpha_{a_2}-2} \sin^2(\theta + \theta_{id} - \delta)$$

В случае некогерентного сложения появляется общий коэффициент  $1/2$

$$\theta_{id} = \arctan \sqrt{2}$$

$$\delta = \arctan \frac{\sqrt{2}(1-\xi)}{1+2\xi}$$

$$\xi = 1 \pm 0.025 \implies |\delta| < 0.7^\circ$$

Всюду далее подразумевается :  $\sigma \implies d\sigma/dt$

В случае когерентного сложения жёстких вкладов:

$$\sigma(\pi^- p \rightarrow \pi^0 n) = g_{\pi\rho\pi}^2 \sin^2 \frac{\pi\alpha_\rho}{2} \left(\frac{s}{s_0}\right)^{2\alpha_\rho-2}$$

$$\sigma(\pi^- p \rightarrow \eta n) = \frac{1+2\xi^2}{3} g_{\pi a_2 \eta}^2 \cos^2 \frac{\pi\alpha_{a_2}}{2} \left(\frac{s}{s_0}\right)^{2\alpha_{a_2}-2} \cos^2(\theta + \theta_{id} - \delta)$$

$$\sigma(\pi^- p \rightarrow \eta' n) = \frac{1+2\xi^2}{3} g_{\pi a_2 \eta'}^2 \cos^2 \frac{\pi\alpha_{a_2}}{2} \left(\frac{s}{s_0}\right)^{2\alpha_{a_2}-2} \sin^2(\theta + \theta_{id} - \delta)$$

В случае некогерентного сложения появляется общий коэффициент  $1/2$

$$\theta_{id} = \arctan \sqrt{2}$$

$$\delta = \arctan \frac{\sqrt{2}(1-\xi)}{1+2\xi}$$

$$\xi = 1 \pm 0.025 \implies |\delta| < 0.7^\circ$$

При  $t=0$  правила сумм выполняются

$$\implies g_{\rho 0} = g_{\pi\rho\pi}(0) \dots \text{ и } g_{a_2 0} = g_{\pi a_2 \eta}(0) = g_{\pi a_2 \eta'}(0)$$

общие вершины для каждой траектории

Определение угла смешивания:

$$R_{\pi}^{\eta'/\eta}(0) \equiv \left. \frac{\sigma(\pi^- p \rightarrow \eta' n)}{\sigma(\pi^- p \rightarrow \eta n)} \right|_{t=0} = \tan^2(\theta + \theta_{id} - \delta)$$

**GAMS-4 $\pi$ :**  $R_{\pi} = 0.54 \pm 0.04$

$$\theta = (-18.4^\circ \pm 1.0_{\text{exp}} \pm 0.7_{\text{th}})^\circ$$



В случае когерентного сложения жёстких вкладов:

$$\sigma(\pi^- p \rightarrow \pi^0 n) = g_{\pi\rho\pi}^2 \sin^2 \frac{\pi\alpha_\rho}{2} \left(\frac{s}{s_0}\right)^{2\alpha_\rho-2}$$

$$\sigma(\pi^- p \rightarrow \eta n) = \frac{1+2\xi^2}{3} g_{\pi a_2 \eta}^2 \cos^2 \frac{\pi\alpha_{a_2}}{2} \left(\frac{s}{s_0}\right)^{2\alpha_{a_2}-2} \cos^2(\theta + \theta_{id} - \delta)$$

$$\sigma(\pi^- p \rightarrow \eta' n) = \frac{1+2\xi^2}{3} g_{\pi a_2 \eta'}^2 \cos^2 \frac{\pi\alpha_{a_2}}{2} \left(\frac{s}{s_0}\right)^{2\alpha_{a_2}-2} \sin^2(\theta + \theta_{id} - \delta)$$

В случае некогерентного сложения появляется общий коэффициент  $1/2$

$$\theta_{id} = \arctan \sqrt{2}$$

$$\delta = \arctan \frac{\sqrt{2}(1-\xi)}{1+2\xi}$$

$$\xi = 1 \pm 0.025 \implies |\delta| < 0.7^\circ$$

При  $t=0$  правила сумм (приблизительно) выполняются

$$\implies g_{\rho 0} = g_{\pi\rho\pi}(0) \dots \text{ и } g_{a_2 0} = g_{\pi a_2 \eta}(0) = g_{\pi a_2 \eta'}(0)$$

общие вершины для каждой траектории

Определение угла смешивания:

$$R_{\pi}^{\eta'/\eta}(0) \equiv \left. \frac{\sigma(\pi^- p \rightarrow \eta' n)}{\sigma(\pi^- p \rightarrow \eta n)} \right|_{t=0} = \tan^2(\theta + \theta_{id} - \delta)$$

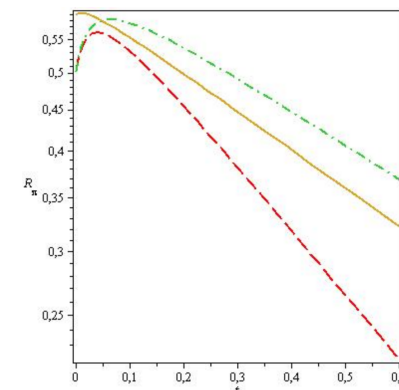
GAMS-4 $\pi$ :  $R_{\pi} = 0.54 \pm 0.04$

$$\theta = (-18.4^\circ \pm 1.0_{\text{exp}} \pm 0.7_{\text{th}})^\circ$$

При ненулевых  $t$ :

$$R_{\pi}^{\eta'/\eta}(t) = R_{\pi}^{\eta'/\eta}(0) \left[ \frac{g_{\pi a_2 \eta'}(t)}{g_{\pi a_2 \eta}(t)} \right]^2$$

← Нетривиальная зависимость от  $t$ , определяемая "мягкими" взаимодействиями



В случае когерентного сложения жёстких вкладов:

$$\sigma(\pi^- p \rightarrow \pi^0 n) = g_{\pi\rho\pi}^2 \sin^2 \frac{\pi\alpha_\rho}{2} \left(\frac{s}{s_0}\right)^{2\alpha_\rho-2}$$

$$\sigma(\pi^- p \rightarrow \eta n) = \frac{1+2\xi^2}{3} g_{\pi a_2 \eta}^2 \cos^2 \frac{\pi\alpha_{a_2}}{2} \left(\frac{s}{s_0}\right)^{2\alpha_{a_2}-2} \cos^2(\theta + \theta_{id} - \delta)$$

$$\sigma(\pi^- p \rightarrow \eta' n) = \frac{1+2\xi^2}{3} g_{\pi a_2 \eta'}^2 \cos^2 \frac{\pi\alpha_{a_2}}{2} \left(\frac{s}{s_0}\right)^{2\alpha_{a_2}-2} \sin^2(\theta + \theta_{id} - \delta)$$

В случае некогерентного сложения появляется общий коэффициент  $1/2$

$$\theta_{id} = \arctan \sqrt{2}$$

$$\delta = \arctan \frac{\sqrt{2}(1-\xi)}{1+2\xi}$$

$$\xi = 1 \pm 0.025 \implies |\delta| < 0.7^\circ$$

При  $t=0$  правила сумм (приблизительно) выполняются

$$\implies g_{\rho 0} = g_{\pi\rho\pi}(0) \dots \text{ и } g_{a_2 0} = g_{\pi a_2 \eta}(0) = g_{\pi a_2 \eta'}(0)$$

общие вершины для каждой траектории

Определение угла смешивания:

$$R_{\pi}^{\eta'/\eta}(0) \equiv \left. \frac{\sigma(\pi^- p \rightarrow \eta' n)}{\sigma(\pi^- p \rightarrow \eta n)} \right|_{t=0} = \tan^2(\theta + \theta_{id} - \delta)$$

GAMS-4 $\pi$ :  $R_{\pi} = 0.54 \pm 0.04$

$$\theta = (-18.4^\circ \pm 1.0_{\text{exp}} \pm 0.7_{\text{th}})^\circ$$

При ненулевых  $t$ :

$$R_{\pi}^{\eta'/\eta}(t) = R_{\pi}^{\eta'/\eta}(0) \left[ \frac{g_{\pi a_2 \eta'}(t)}{g_{\pi a_2 \eta}(t)} \right]^2$$

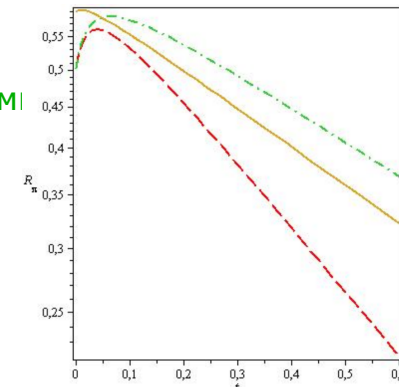
← Нетривиальная зависимость от  $t$ , определяемая "мягкими" взаимодействиями

Отношение вершинных констант:

$$\frac{\sigma(\pi^- p \rightarrow \pi^0 n)}{\sigma(\pi^- p \rightarrow \eta n) + \sigma(\pi^- p \rightarrow \eta' n)} \left(\frac{s}{s_0}\right)^{2(\alpha_{a_2} - \alpha_\rho)} \Big|_{t=0} = \frac{3}{1+2\xi^2} \left[ \frac{g_{\rho 0} \sin(\pi\alpha_{\rho 0}/2)}{g_{a_2 0} \cos(\pi\alpha_{a_2 0}/2)} \right]^2$$

NICE, 10 – 40 GeV

$$g_{\rho 0}/g_{a_2 0} = 3.4 \pm 0.8$$



Когерентное сложение жёстких вкладов:

$$\sigma(K^-p \rightarrow \pi^0\Lambda) = \frac{1}{4} \left[ g_{KK^*\pi}^2 \sin^2 \frac{\pi\alpha_K}{2} + g_{KK_2^*\pi}^2 \cos^2 \frac{\pi\alpha_K}{2} \right] \left( \frac{s}{s_0} \right)^{2\alpha_K-2}$$

A.Martin, C.Michel, 1971

$$\sigma(K^-p \rightarrow \eta\Lambda) = \frac{3}{4} \left[ g_{KK^*\eta}^2 \sin^2 \frac{\pi\alpha_K}{2} \cos^2 \theta + g_{KK_2^*\eta}^2 \cos^2 \frac{\pi\alpha_K}{2} \cos^2(\theta + \theta'_{id}) \right] \left( \frac{s}{s_0} \right)^{2\alpha_K-2}$$

$$\theta'_{id} = -\arctan(2\sqrt{2})$$

$$= -70.5^\circ$$

$$\sigma(K^-p \rightarrow \eta'\Lambda) = \frac{3}{4} \left[ g_{KK^*\eta'}^2 \sin^2 \frac{\pi\alpha_K}{2} \sin^2 \theta + g_{KK_2^*\eta'}^2 \cos^2 \frac{\pi\alpha_K}{2} \sin^2(\theta + \theta'_{id}) \right] \left( \frac{s}{s_0} \right)^{2\alpha_K-2}$$

Отношение вершинных констант:

$$R_{K^{\eta'/\eta}}(0) \equiv \frac{\sigma(K^-p \rightarrow \eta'\Lambda)}{\sigma(K^-p \rightarrow \eta\Lambda)} \Big|_{t=0} = \frac{r_{K^*/K_2^*}^2 \tan^2 \frac{\pi\alpha_{K0}}{2} \cos^2 \theta + \cos^2(\theta + \theta'_{id})}{r_{K^*/K_2^*}^2 \tan^2 \frac{\pi\alpha_{K0}}{2} \sin^2 \theta + \sin^2(\theta + \theta'_{id})}$$

$$r_{K^*/K_2^*} \equiv g_{K^*0}/g_{K_2^*0}$$

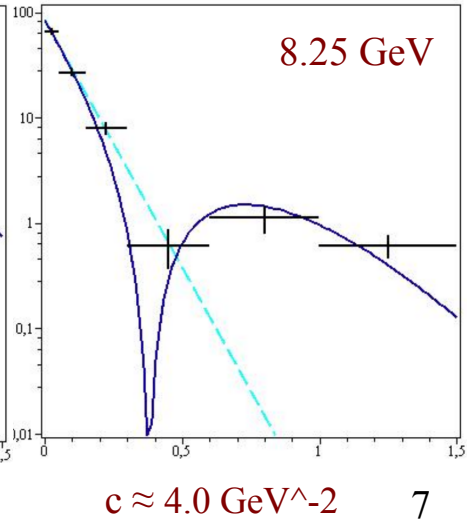
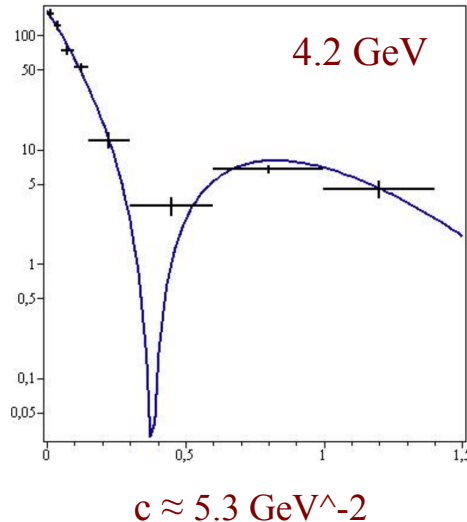
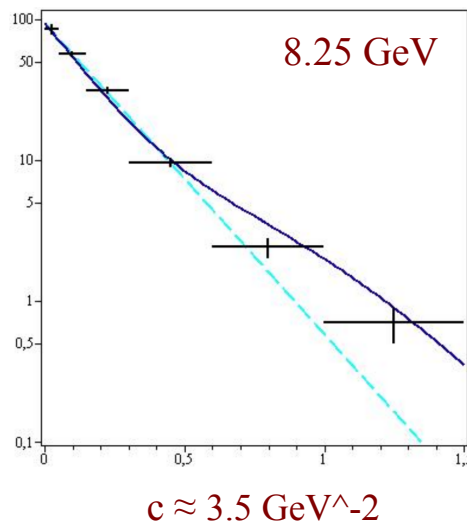
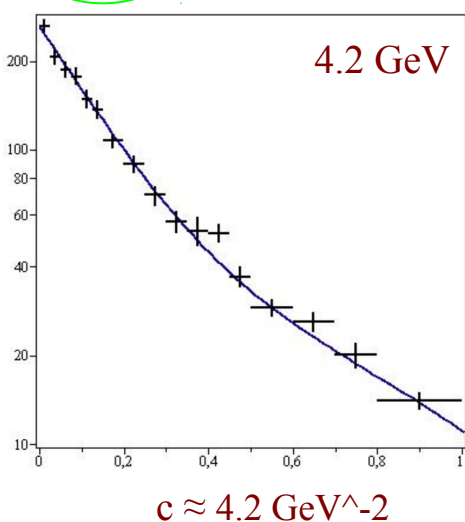
CERN (1981) 8.25 GeV:

$$R_{K^{\eta'/\eta}}(0) = 1.37 \pm 0.13$$

$$g_{K^*0}/g_{K_2^*0} = 1.71 \pm 0.09$$

$|t| > 0$ : Дифф.сечение  $K^-p \rightarrow \pi^0\Lambda$ :

Дифф.сечение  $K^-p \rightarrow \eta\Lambda$ :



Некогерентное сложение жёстких вкладов:

$$\sigma(K^- p \rightarrow \eta \Lambda) = \left\{ \frac{5}{12} g_{KK^*\eta}^2 \sin^2 \frac{\pi\alpha_K}{2} \cos^2 \theta + \frac{1}{4} g_{KK^*_2\eta}^2 \cos^2 \frac{\pi\alpha_K}{2} [\cos^2(\theta + \theta_{id}) + 2 \sin^2(\theta + \theta_{id})] \right\} \left( \frac{s}{s_0} \right)^{2\alpha_K - 2}$$

$$\sigma(K^- p \rightarrow \eta' \Lambda) = \left\{ \frac{5}{12} g_{KK^*\eta'}^2 \sin^2 \frac{\pi\alpha_K}{2} \sin^2 \theta + \frac{1}{4} g_{KK^*_2\eta'}^2 \cos^2 \frac{\pi\alpha_K}{2} [\sin^2(\theta + \theta_{id}) + 2 \cos^2(\theta + \theta_{id})] \right\} \left( \frac{s}{s_0} \right)^{2\alpha_K - 2}$$

Отношение вершинных констант: GAMS-4 $\pi$  (2013) 32.5 GeV:

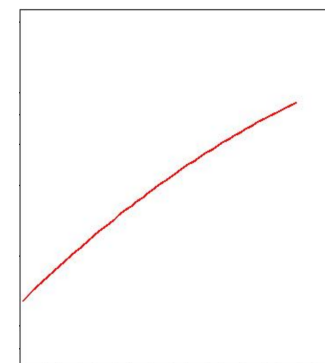
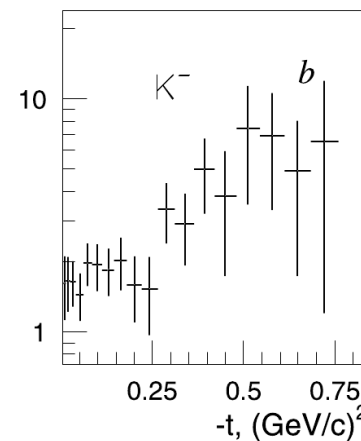
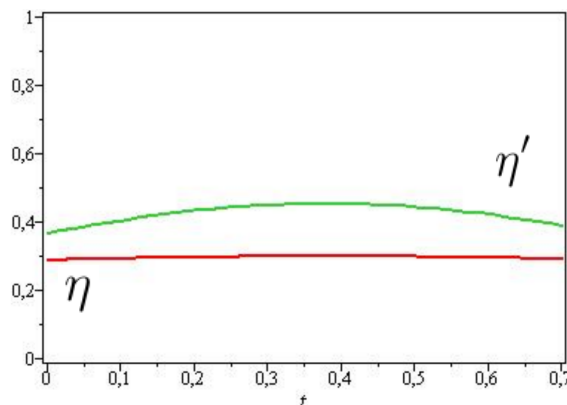
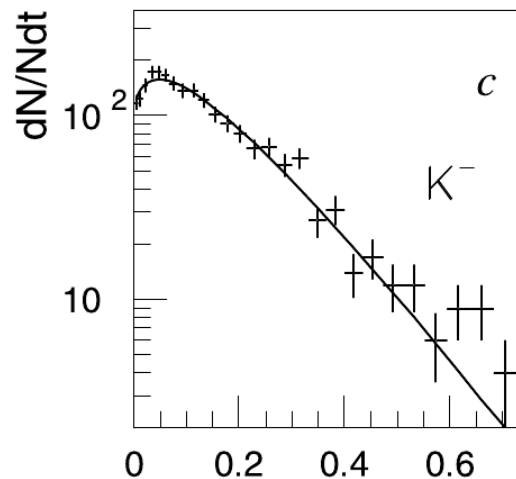
$$R_K^{\eta'/\eta}(0) = 1.27 \pm 0.15 \quad \Rightarrow \quad g_{K^*_0}/g_{K^*_2_0} = 0.88 \pm 0.34$$

$|t| > 0$ : поведение дифф.сечений

GAMS-4 $\pi$  (2013) 32.5 GeV:

"Сигнатурные" факторы:

Поведение отношения сечений:



Нет провалов во всей области  $t$

## Выводы (заключение):

- Выдвинуто качественное обоснование того, что реакции перезарядки при высоких энергиях идут через рассеяние быстрых валентных кварков.  
Гипотеза: с ростом энергии происходит смена режима вкладов мягких взаимодействий вследствие разрушения когерентности промежуточных состояний.
- Предложено описание реакций перезарядки в комбинированном подходе: вклады жестких процессов вычисляются в партонной модели (пертурб. КХД), мягких – на основе реджевской феноменологии.  
С точки зрения редже-феноменологии смена режима проявляется в эффективном изменении сигнатурных факторов и появлении зависимости от энергии в вершинных факторах:  $g(t) \eta(\alpha) \left(s/s_0\right)^{\alpha(t)} \rightarrow \tilde{g}(t, s) \tilde{\eta}(\alpha) \left(s/s_0\right)^{\alpha(t)}$
- Дано объяснение исчезновения "провала" в дифференциальном сечении  $K^- p \rightarrow \eta \Lambda$  при высоких энергиях как проявление смены режима когерентности промежуточных вкладов.
- "Индикаторами" смены режима вкладов промежуточных состояний является "неканоническое" изменение наклонов падения сечений и изменение отношений вершинных факторов при нулевой передаче.